# 広島市のダニ媒介感染症の後方視的解析

### 藤井 慶樹 則常 浩太 八島 加八\* 山本 美和子 松室 信宏

### じめに は

当所では保健センターからの行政検査依頼に基 づき, ダニが媒介する四類感染症のうち, 重症熱 性血小板減少症候群(SFTS), 日本紅斑熱, つつが 虫病の検査を行っている。今回, 2012年から201 5年までの期間に当所で検査を実施したダニ媒介 感染症疑い事例について後方視的な解析を行った。 この結果を踏まえ、ダニ媒介感染症の特徴及び本 市における発生状況等についてまとめたので報告 する。

### 方 法

2012 年から 2015 年までの期間に、行政検査依 頼に基づき当所で検査を行ったダニ媒介感染症疑 い事例計 65 例を解析対象とし, 患者調査票等を参 考にして患者の発生時期、推定感染地、推定感染 作業、臨床症状等の疫学情報についてまとめた。

また、患者から検出されたつつが虫病リケッチ ア(Orientia tsutsugamushi, 以下, 0.t)及びSFTS ウイルス(SFTSV)について遺伝子解析を実施し、本 市及びその近郊に侵淫している病原体の特徴を調 べた。

## 結果と考察

### 1 ダニ媒介感染症疑い事例の検査結果

検査を行ったダニ媒介感染症疑い事例計 65 例 のうち、17例(26%)がつつが虫病、7例(11%)が 日本紅斑熱, 4 例(6%)が SFTS であった。一方で, 病原体若しくは抗体検査陰性の不明例が 37 例 (57%)と半数以上を占めた。不明例については、 適切な検体が確保されていないことによる偽陰性 の可能性,症状の類似した別疾患であった可能性, 他の病原体が原因であった可能性などが推察され た。

## 2 患者の発生状況

月別の患者発生状況を図1に示した。つつが虫 病患者は秋~初冬(10~12 月)にかけて発生のピ ークが認められ、患者 17 人のうち 16 人がこの時 に発生していた。日本紅斑熱、SFTS 患者について は、発生時期に特徴的なピークはなく、5~11 月 にかけて発生していた。 3 推定感染作業

期に発生していた。残る1人の患者は春先の4月

ツツガムシあるいはマダニの刺咬を受けるきっ かけとなった作業の推定内訳を図2及び3に示し た。つつが虫病、日本紅斑熱、SFTS 患者ともに、 畑・水田等での農作業が最も多く、次いで、山菜 取り・レジャー等による山地での作業が続いた。

日本紅斑熱, SFTS はマダニにより媒介される疾 患であるが,これらの患者では平地での庭仕事や 墓地での墓掃除等が原因と考えられた事例もあり, 普段の生活の身近なところでもマダニ刺咬による 感染の可能性があると推察された。

### 4 患者の年齢層

患者の年齢層の分布を図4に示した。60歳以上 の高齢者が大多数を占めたが、上述のとおり、農 作業や山地での作業が推定感染作業として疑われ る事例が多いことと関連していると考えられる。 ただし、5 歳未満の日本紅斑熱患者も発生してお り、高齢者だけでなくあらゆる年齢層で発生し得 る感染症であると認識しておく必要がある。

## 5 推定感染地域の分布

患者の推定感染地を図5に示した。日本紅斑熱, SFTS 患者の推定感染地は本市及びその周辺に広 く分布していた。両疾患はごく一部の病原体を保 有するマダニにより媒介されると考えられるが, 日本紅斑熱については一部地域での患者多発が報 告されているため1),2),本市における今後の状況 についても注視していかなければいけない。

つつが虫病患者については、広島県内では太田 川中流域が好発地として知られているが 3), 当該 地域だけでなく, 市内各地に推定感染地が分布し ていた。

# 6 患者の臨床症状等

患者の臨床症状等を図6に示した。つつが虫病, 日本紅斑熱は発熱,発疹,刺し口が3大主徴とさ れ、本市で確認された患者においても8割以上で これらの症状が認められた。SFTS 患者では4人の

# \*: 現 環境局環境保全課

うち1人に発疹が認められたものの、全身の発疹ではなく局所(足)の発疹であり、つつが虫病、日本紅斑熱と比べて発疹の頻度は低いと考えられる。その他、SFTS 患者ではリンパ節腫脹が少ないこと、また、ウイルス感染症であるため、細菌(リケッチアを含む)感染時に上昇することの多い CRP が陰性、若しくは軽度上昇に留まることなども特徴と考えられた。一方で、血小板減少、白血球減少、肝機能の悪化等はいずれの疾患でも高率に認められた。ただし、患者の個人差等も加味すると、臨床症状や検査結果の数値のみで、これらの疾患を区別することは容易ではないと考えられる。

### 7 病原体の遺伝子解析

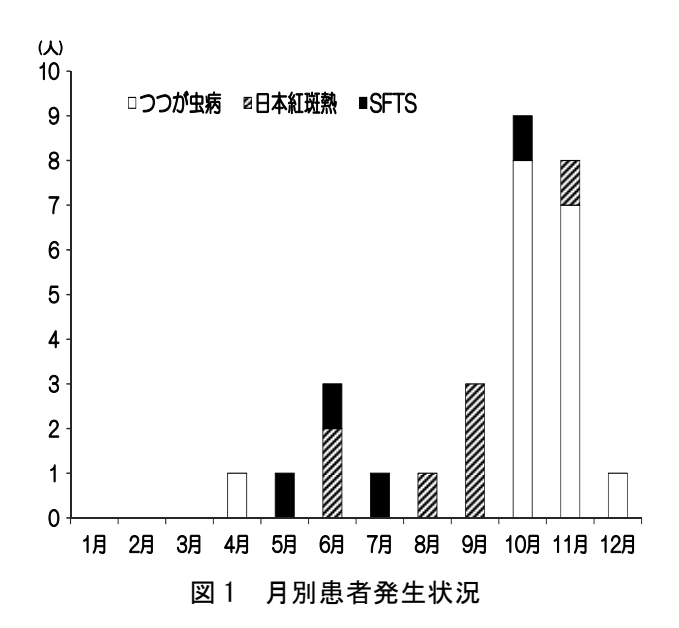
患者から検出された SFTSV 4 株の S 分節遺伝子 配列及び 0. t 17 株の 56kDa 外膜蛋白をコードする 遺伝子配列に基づく系統樹解析を行った(図 7 及 び 8)。

SFTSV は遺伝子解析の結果から大きく中国系統と日本系統の2つの系統に分かれることが知られている<sup>4)</sup>。本市内及びその近郊での感染例から検出された3株のSFTSV は全て日本系統に分類された。一方、県外が推定感染地とされる患者からは中国系統のSFTSV が検出された。

0. t は 17 株中 16 株が Kawasaki 型に分類され, 1 株が Karp 型に分類された。0. t には Kato, Karp, Gilliam, Kawasaki, Kuroki, Shimokoshi の 6 つの血清型が存在し、血清型により媒介するツツガムシの種類が決まっている。市内でのつつが虫病患者発生状況は 10~12 月がピークであり、当時期に発症した患者から検出された 0. t は全てタテツツガムシが媒介する Kawasaki 型であった。

### 文献

- 赤地重宏 他:三重県における日本紅斑熱発 生状況と対応,病原微生物検出情報,31(5), 129~130(2010)
- 2) 島津幸枝 他:広島県における日本紅斑熱患者の発生状況,病原微生物検出情報,31(5), 131~132(2010)
- 3) 岩崎博道 他:広島県において見いだされた ツツガムシ病多数例の臨床的および疫学的 解析, 感染症学雑誌, 75(5), 365~370(2001)
- 4) 吉河智城 他:国内で確認された株を含む SFTS ウイルスの分子系統学的解析,病原微 生物検出情報,37(3),44~45(2016)



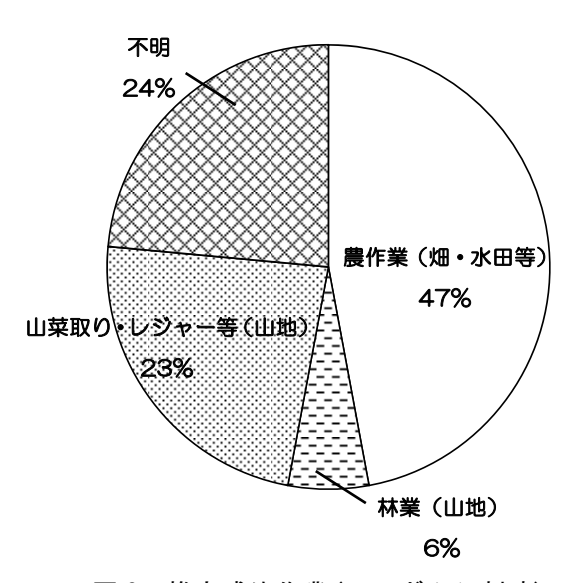


図2 推定感染作業(ツツガムシ刺咬)

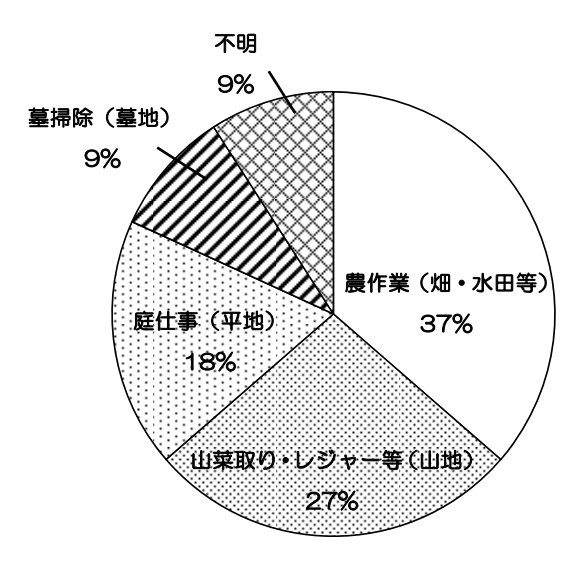


図3 推定感染作業(マダニ刺咬)

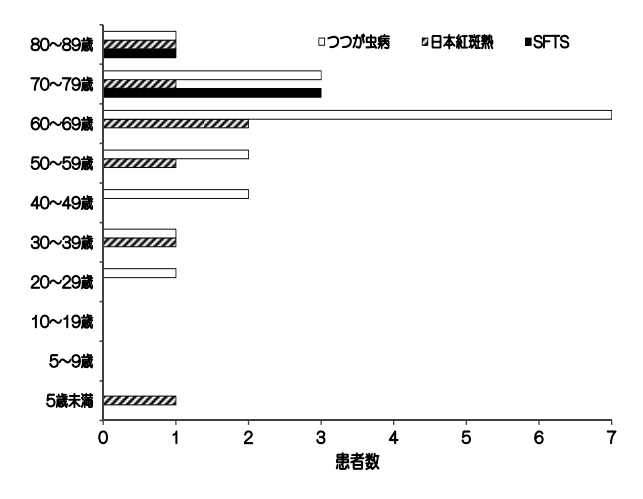


図4 患者の年齢層

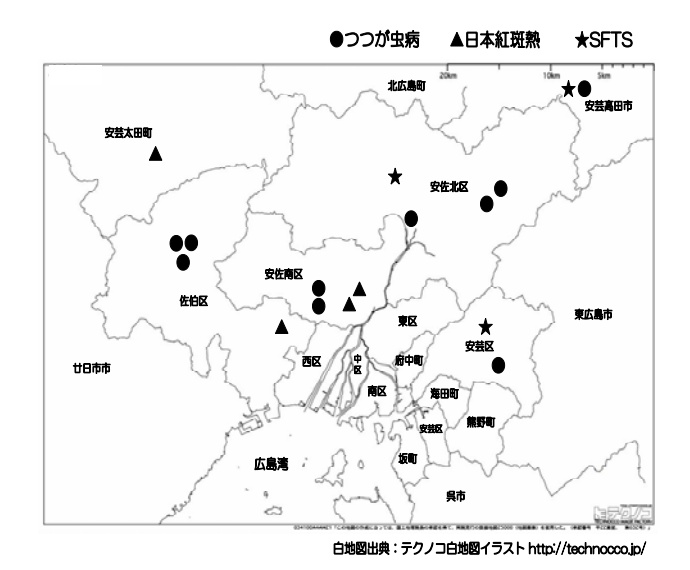


図5 推定感染地域の分布

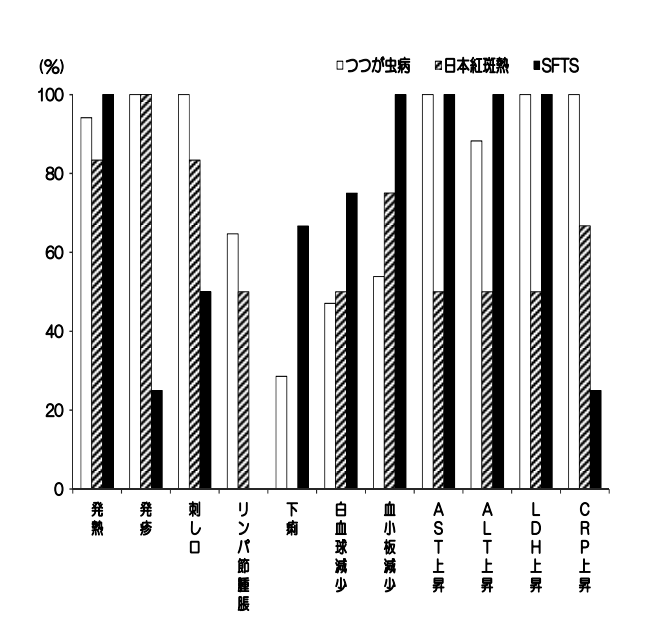


図6 患者の臨床症状等

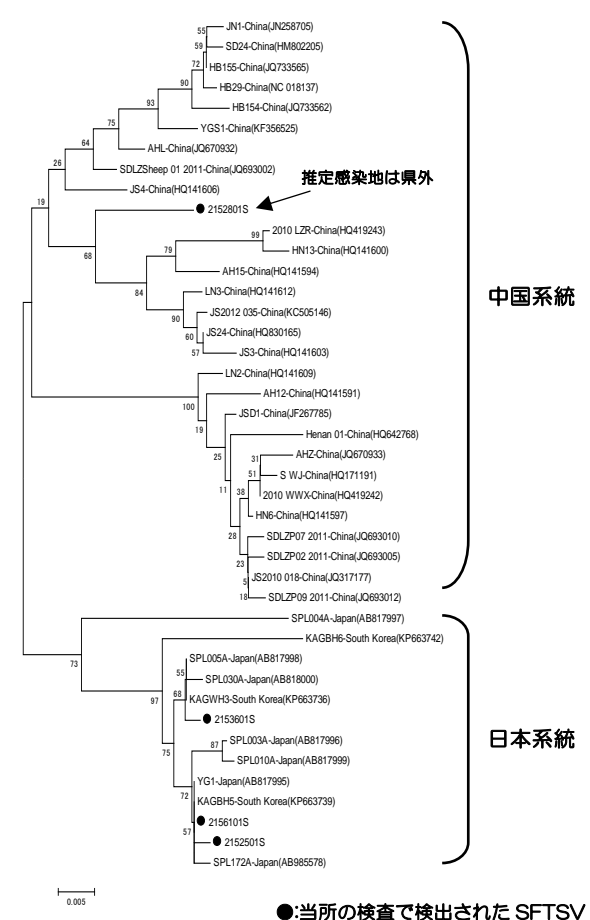


図7 SFTSVのS遺伝子の塩基配列に基づく系統樹

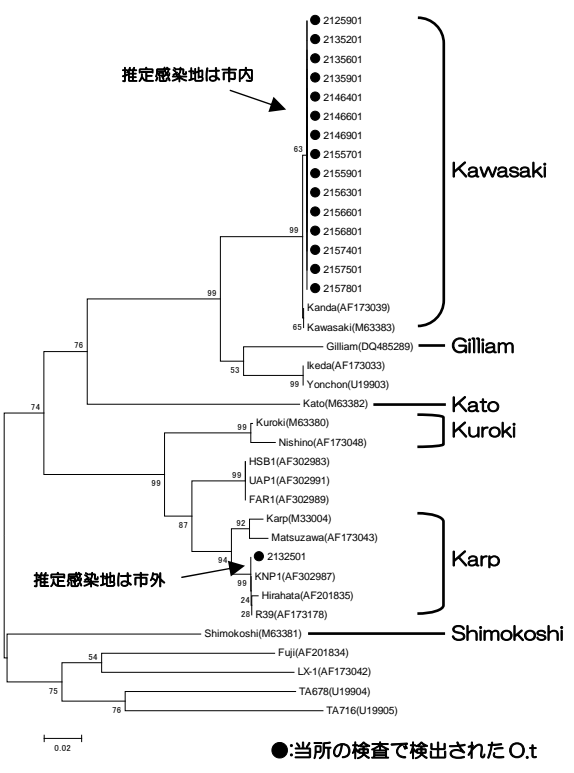


図8 0.tの56kDa膜蛋白をコードする遺伝子の塩 基配列に基づく系統樹